



# НОВІ ЗАСОБИ КІБЕРНЕТИКИ, ІНФОРМАТИКИ, ОБЧИСЛЮВАЛЬНОЇ ТЕХНІКИ ТА СИСТЕМНОГО АНАЛІЗУ

С.Л. КРЫВЫЙ, В.Н. ОПАНАСЕНКО, С.Б. ЗАВЬЯЛОВ

УДК 516.813

## РАЗБІЄНИЕ МНОЖЕСТВА ВЕКТОРОВ С ЦЕЛÝМИ КООРДИНАТАМИ ЛОГІЧЕСКИМИ АППАРАТНЫМИ СРЕДСТВАМИ

**Аннотация.** Рассмотрена задача разбиения множества векторов с целыми координатами относительно покоординатного и лексикографического порядка на векторах с использованием автоматной интерпретации. Предложена аппаратная реализация операций трехзначной логики на базе кристаллов FPGA для проверки выполнимости формул этой логики.

**Ключевые слова:** целочисленные векторы, пороговые значения, конечные автоматы, трехзначная логика.

### ВВЕДЕНИЕ

Синтез аппаратных средств для решения задачи разбиения множества булевых векторов и векторов с целочисленными неотрицательными координатами и порогового значения рассматривался в [1] (с использованием алгоритмов из работ [2, 3]). Такой подход известен как «технология реконфигурируемого компьютеринга» [4, 5], и его воплощение в реальные проекты (см. [6–13]) стало возможным благодаря появлению программируемых логических интегральных схем (ПЛИС).

В настоящей статье рассматривается обобщение метода решения задачи разбиения множества векторов, который рассматривался в работе [1], и использование этого метода для проверки выполнимости формул трехзначной логики.

### ПОСТАНОВКА ЗАДАЧИ

Даны конечное множество векторов  $V = \{v_1, v_2, \dots, v_m\}$  размерности  $n \in N$  и фиксированный пороговый вектор  $a = (c_1, c_2, \dots, c_n)$ , где  $v_i, a \in Z^n$ ,  $Z$  — множество целых чисел. На множестве векторов задано отношение порядка. Наиболее часто таким отношением является покоординатный (частичный) порядок или лексикографический (полный) порядок.

**Определение 1.** Пусть  $x = (x_1, \dots, x_n) \in Z^n$ ,  $y = (y_1, \dots, y_n) \in Z^n$ . Бинарное отношение  $x \leq y \Leftrightarrow \forall i=1, \dots, n, x_i \leq y_i$  называется покоординатным порядком.

Бинарное отношение  $x < y \Leftrightarrow (\forall i < j x_i = y_i) \wedge (x_j < y_j)$ ,  $i, j = 1, \dots, n$ , называется лексикографическим порядком.

Считаем, что относительно покоординатного порядка  $x < y$  хотя бы для одного  $i = 1, \dots, n$  имеем  $x_i < y_i$ .

**Задача разбиения.** Необходимо разбить множество  $V$  относительно порогового вектора  $a$  на подмножества  $V_1 = \{v \in V \mid v < a\}$ ,  $V_2 = \{v \in V \mid v > a\}$ ,  $V_3 = \{v \in V \mid v = a\}$ ,  $V_4 = \{v \in V \mid v \propto a\}$ , где символ  $\propto$  означает, что векторы не сравнимы

© С.Л. Крывый, В.Н. Опанасенко, С.Б. Завьялов, 2019

(для лексикографического порядка таких подмножеств будет три:  $V_1$ ,  $V_2$ ,  $V_3$ ).

В настоящей статье рассматривается покоординатный порядок, поскольку решение задачи разбиения для лексикографического порядка очевидным образом следует из решения задачи разбиения для покоординатного порядка.

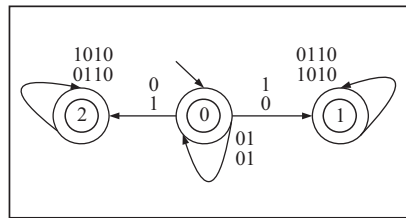


Рис. 1. Автомат  $A_1$

#### АВТОМАТНАЯ ИНТЕРПРЕТАЦИЯ ЗАДАЧИ РАЗБИЕНИЯ

**Случай целых неотрицательных координат векторов.** Автоматный подход к решению задачи разбиения состоит в построении однородной сети из простых автоматов, по финальным состояниям которых определяется принадлежность вектора  $v \in V$  к одному из подмножеств:  $V_1$ ,  $V_2$ ,  $V_3$ ,  $V_4$ . Преимущество автоматного подхода состоит в том, что он позволяет выполнить разбиение множества  $V$  на подмножества  $V_1$ ,  $V_2$ ,  $V_3$ ,  $V_4$  одновременно для всех отношений  $R \in \{<, >, =, \infty\}$ . Автоматы, из которых строится сеть, являются автоматами без выходов [14, 15], а формальное определение сети автоматов имеет следующий вид.

**Определение 2.** Сетью автоматов называется  $n$ -ка  $A = (A_1, \dots, A_n)$ , состоящая из автоматов, представленных в виде  $A_i = (S_i, X_i, f_i, a_0^i, F_i)$ ,  $i = 1, 2, \dots, n$ . Состоянием сети  $A$  называется  $n$ -ка состояний  $(a_1, \dots, a_n)$ , где  $a_i \in S_i$  для каждого  $i = 1, 2, \dots, n$ . Состояние сети  $(a_1, \dots, a_n)$  называется начальным, если  $a_i = a_0^i$ , и финальным или заключительным, если  $a_i \in F_i$  для всех  $i = 1, 2, \dots, n$ . Тогда  $n$ -ка  $x = (x_1, \dots, x_n)$ , где  $x_i \in X_i$ ,  $i = 1, 2, \dots, n$ , называется действием в сети  $A$ , которое переводит сеть из состояния  $(a_1, \dots, a_n)$  в состояние  $(b_1, \dots, b_n)$  так, что  $(b_1, \dots, b_n) = (f_1(a_1, x_1), \dots, f_n(a_n, x_n))$ .

Сеть назовем однородной, если все ее автоматы имеют один вид.

Для решения задачи классификации используется однородная сеть автоматов [14, 15], вид которых показан на рис. 1. Начальное состояние автомата нулевое, все состояния автомата заключительные, а входным алфавитом являются вектор-столбцы в двоичном алфавите, которые представляют соответствующие пары координат вектора  $v$  из  $V$  и порогового вектора  $a$ .

Поясним это представление на примере.

**Пример 1.** Пусть  $v = (3, 4)$  и  $a = (3, 2)$ . Эти векторы представляются двоичными словами  $v^T = \begin{pmatrix} 3 \\ 4 \end{pmatrix} = \begin{bmatrix} 011 \\ 100 \end{bmatrix} = v_3 v_2 v_1$ , где  $v_3 = \begin{bmatrix} 0 \\ 1 \end{bmatrix}$ ,  $v_2 = \begin{bmatrix} 1 \\ 0 \end{bmatrix}$ ,  $v_1 = \begin{bmatrix} 1 \\ 0 \end{bmatrix}$ ;  $a^T = \begin{pmatrix} 3 \\ 2 \end{pmatrix} = \begin{bmatrix} 011 \\ 010 \end{bmatrix} = a_3 a_2 a_1$ , где  $a_3 = \begin{bmatrix} 0 \\ 0 \end{bmatrix}$ ,  $a_2 = \begin{bmatrix} 1 \\ 1 \end{bmatrix}$ ,  $a_1 = \begin{bmatrix} 1 \\ 0 \end{bmatrix}$ . Таким образом, алфавит автомата  $A_1$  составляют символы  $x_1 = \begin{bmatrix} 0 \\ 0 \end{bmatrix}$ ,  $x_2 = \begin{bmatrix} 0 \\ 1 \end{bmatrix}$ ,  $x_3 = \begin{bmatrix} 1 \\ 0 \end{bmatrix}$ ,  $x_4 = \begin{bmatrix} 1 \\ 1 \end{bmatrix}$ .

На вход автомата  $A_1$  старшими разрядами подаются слова  $p_1 = \begin{bmatrix} 011 \\ 011 \end{bmatrix} = x_1 x_4 x_4$ ,  $p_2 = \begin{bmatrix} 100 \\ 010 \end{bmatrix} = x_3 x_2 x_1$ , представляющие первые и вторые координаты векторов  $v$  и  $a$  соответственно.

Конец примера 1.

Определение множества, которому принадлежит вектор  $v$ , зависит от того, в каком финальном состоянии остановится сеть автоматов  $A$ . В приведенном примере имеем вектор  $v > a$  относительно покоординатного и лексикографического порядков и его следует отнести к подмножеству  $V_2$ .

**Предложение 1.** Автомат  $A_1$  правильно вычисляет отношение  $x \leq y$  между двумя целыми положительными числами:  $x$  и  $y$ , представленными в двоичной системе счисления.

Доказательство очевидным образом следует из того факта, что отношение порядка  $x \leq y$  на векторах переносится на разряды их двоичного представления координат. Действительно, пусть  $p_x = x_1 x_2 \dots x_k$  и  $p_y = y_1 y_2 \dots y_k$  — двоичные слова, представляющие числа  $x$  и  $y$  соответственно. Поскольку двоичные слова подаются на вход автомата  $A_1$  старшими разрядами, то  $x < y$ , если  $x_j < y_j$  для некоторого  $1 \leq j \leq k$ , и  $x_i = y_i$  для всех  $i < j$ . Это означает, что  $j$ -й разряд числа  $x$  меньше  $j$ -го разряда числа  $y$ , и тогда автомат из состояния 0 перейдет в состояние 2 (см. рис. 1). А это значит, что  $x < y$ . Остальные случаи аналогичны.

Конец доказательства.

Общее решение задачи разбиения множества  $V$  выполняется сетью автоматов  $A = (A_1, \dots, A_n)$  (случай  $n$ -мерных векторов из  $V$ ). Настройка сети на решение задачи разбиения состоит в следующем: все автоматы сети одинаковые ( $n$  экземпляров автомата  $A_1$  на рис. 1); сеть находится в начальном состоянии; слова подаются на вход автоматов сети старшими разрядами. На вход первого автомата сети подается двоичное слово, представляющее первые координаты векторов  $v$  и  $a$ , на вход второго автомата сети — слово, представляющее вторые координаты векторов и т.д. Принадлежность вектора  $v$  к подмножеству  $V_i$ , как отмечалось выше, зависит от финального состояния сети, в котором она оказалась после прочтения входных слов. Если отношение порядка покоординатное и финальным состоянием сети являются

- a)  $(0, 0, 0)$ , то  $v = a$ , поэтому  $v \in V_3$ ;
- б)  $(p, q, r)$ , где  $p, q, r \in \{0, 1\}$  и не все значения  $p, q, r$  равны нулю, то  $v > a$ , поэтому  $v \in V_2$ ;
- в)  $(p, q, r)$ , где  $p, q, r \in \{0, 2\}$  и не все значения  $p, q, r$  равны нулю, то  $v < a$ , поэтому  $v \in V_1$ ;
- г)  $(1, 2, 0), (0, 1, 2), (2, 1, 0), (2, 1, 2), (2, 2, 1), \dots$ , то вектор  $v$  не сравним с  $a$ , поэтому  $v \in V_4$ .

Если отношение порядка лексикографическое и финальным состоянием сети является

- а')  $(0, 0, 0)$ , то  $v = a$ , поэтому  $v \in V_3$ ;
- б')  $(p, q, r)$  и  $p < q$  или  $p = q$  и  $q < r$ , то  $v > a$ , поэтому  $v \in V_2$ ;
- в')  $(p, q, r)$  и  $p > q$  или  $p = q$  и  $q > r$ , то  $v < a$ , поэтому  $v \in V_1$ .

**Пример 2.** Пусть  $V = \{v_1 = (4, 5, 0), v_2 = (3, 4, 2), v_3 = (0, 1, 1), v_4 = (1, 1, 2), v_5 = (4, 3, 1)\}$  и пороговый вектор  $a = (1, 1, 2)$ . Тогда пара  $(v_1, a)$  имеет представление

$$v_1 = \begin{pmatrix} 4 \\ 5 \\ 0 \end{pmatrix} = \begin{bmatrix} 100 \\ 101 \\ 000 \end{bmatrix}, \quad a = \begin{pmatrix} 1 \\ 1 \\ 2 \end{pmatrix} = \begin{bmatrix} 001 \\ 001 \\ 010 \end{bmatrix}$$

и слова, соответствующие первым координатам, имеют вид  $p_1 = \begin{bmatrix} 100 \\ 001 \end{bmatrix}$ , соответствующие вторым координатам —  $p_2 = \begin{bmatrix} 101 \\ 001 \end{bmatrix}$ , третьим координатам —  $p_3 = \begin{bmatrix} 000 \\ 010 \end{bmatrix}$ .

Слово  $p_1$  подается на вход первого автомата сети, слово  $p_2$  — на вход второго автомата сети и  $p_3$  подается на вход третьего автомата. В результате получаем состояния  $(1, 1, 2)$ , в которых остановились автоматы. Это значит, что векторы  $v_1$  и  $a$  не сравнимы относительно покоординатного порядка, а относительно лексикографического порядка  $v_1 > a$ . Далее для покоординатного порядка получаем координаты

$$v_2 = \begin{bmatrix} 011 \\ 100 \\ 010 \end{bmatrix} \Rightarrow p_1 = \begin{bmatrix} 011 \\ 001 \end{bmatrix}, \quad p_2 = \begin{bmatrix} 100 \\ 001 \end{bmatrix}, \quad p_3 = \begin{bmatrix} 010 \\ 010 \end{bmatrix},$$

которые переводят сеть в состояния  $(1, 1, 0)$ , что означает  $v_2 > a$ ;  
координаты

$$v_3 = \begin{bmatrix} 000 \\ 001 \\ 001 \end{bmatrix} \Rightarrow p_1 = \begin{bmatrix} 000 \\ 001 \end{bmatrix}, \quad p_2 = \begin{bmatrix} 001 \\ 001 \end{bmatrix}, \quad p_3 = \begin{bmatrix} 001 \\ 010 \end{bmatrix},$$

которые переводят сеть в состояния  $(2, 0, 2)$ , что означает  $v_3 < a$ ;  
координаты

$$v_4 = \begin{bmatrix} 100 \\ 100 \\ 010 \end{bmatrix} \Rightarrow p_1 = \begin{bmatrix} 001 \\ 001 \end{bmatrix}, \quad p_2 = \begin{bmatrix} 001 \\ 001 \end{bmatrix}, \quad p_3 = \begin{bmatrix} 010 \\ 010 \end{bmatrix},$$

которые переводят сеть в состояние  $(0, 0, 0)$ , что означает  $v_4 = a$ ;  
координаты

$$v_5 = \begin{bmatrix} 100 \\ 011 \\ 001 \end{bmatrix} \Rightarrow p_1 = \begin{bmatrix} 100 \\ 001 \end{bmatrix}, \quad p_2 = \begin{bmatrix} 011 \\ 001 \end{bmatrix}, \quad p_3 = \begin{bmatrix} 001 \\ 010 \end{bmatrix},$$

которые переводят сеть в состояние  $(1, 1, 2)$ , это означает, что вектор  $v_5$  не сравним с  $a$ .

Таким образом,  $V = V_1 \cup V_2 \cup V_3 \cup V_4$ , где  $V_1 = \{v_3\}$ ,  $V_2 = \{v_2\}$ ,  $V_3 = \{v_4\}$ ,  $V_4 = \{v_1, v_5\}$  — разбиение множества  $A$  относительно покоординатного порядка.

Конец примера 2.

**Предложение 2.** Однородная сеть автоматов  $A = (A_1, \dots, A_n)$  правильно вычисляет отношение  $x \leq y$  между двумя векторами  $x$  и  $y$  с целыми положительными координатами, которые представлены в двоичной системе счисления.

Доказательство следует непосредственно из предложения 1 и пп. а) – г) для покоординатного отношения порядка, а для лексикографического отношения порядка — из пп. а') – в'). Действительно, пусть  $x < y$ , тогда один из автоматов сети  $A$  согласно предложению 1 переходит в заключительное состояние 2 (см. рис. 1), из которого уже не выходит, а остальные автоматы либо остаются в состоянии 0 (равенство координат), либо переходят в состояние 2, где остаются до конца работы. Согласно п. в) для покоординатного порядка  $v < a$ . Для лексикографического отношения порядка доказательство следует из п. в'). Остальные случаи аналогичны.

Конец доказательства.

**Случай целочисленных координат векторов.** Рассмотрим приведенную выше постановку задачи, но координатами векторов из  $V$  здесь являются не натуральные, а целые числа. В этом случае задача будет решаться рассмотренным выше способом, если отрицательные координаты векторов представить в виде 2-дополнения. Отметим, что 2-дополнение числа  $x$ , двоичное представление которого  $x_n x_{n-1} \dots x_1 x_0$ , определяется таким образом:

если  $x \geq 0$ , то  $x_n = 0$  и  $(x)_2 = 0x_{n-1} \dots x_1 x_0$ ,

если  $x < 0$ , то  $x_n = 1$  и  $(x)_2 = 1\overline{x_{n-1}} \dots \overline{x_0} + 1$ , где бит  $x_n$  является знаковым, а  $\overline{x_i} = 1 - x_i$  для  $0 \leq i \leq n-1$ .

Автомат для вычисления 2-дополнения представляется композицией двух автоматов, первый из которых строит дополнение, а второй реализует операцию

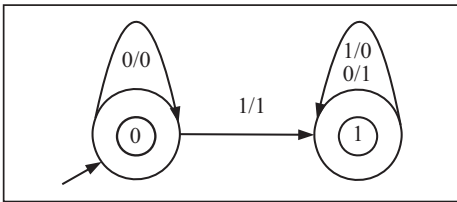


Рис. 2. Автомат  $C$  для вычисления 2-дополнения

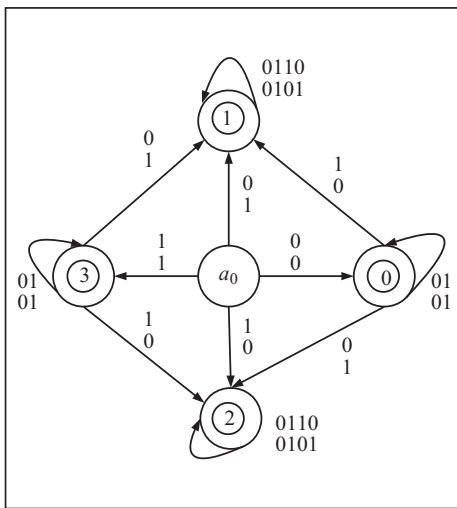


Рис. 3. Автомат  $B_1$

прибавления единицы. Композиция этих автоматов представляется автоматом  $C$ , показанным на рис. 2.

На рис. 3 представлен автомат  $B_1$ ; из таких автоматов строим однородную сеть  $B$ . Состояние  $a_0$  введено для распознавания знаков двоичных чисел, представляющих координаты векторов из  $V$ . Все состояния автомата  $B_1$ , кроме состояния  $a_0$ , заключительные. Если знаковые биты различны, то сразу можно определить, какой из векторов больше. Если знаковые биты одинаковые, то сравнение выполняется в случае положительных координат, как показано выше, а если биты отрицательные, то сравнение выполняется частью автомата, которая соответствует состоянию 3 на рис. 3.

**Пример 3.** Пусть  $V = \{v_1 = (-4, 5, 0), v_2 = (3, 4, -2), v_3 = (0, -1, 1), v_4 = (1, 1, 2)\}$  и пороговый вектор  $a = (-1, 1, 2)$ . Тогда пара  $(v_1, a)$  имеет представление

$$v_1 = \begin{bmatrix} 1100 \\ 1111 \end{bmatrix} = \begin{bmatrix} 1100 \\ 0101 \\ 0001 \end{bmatrix}, \quad a = \begin{bmatrix} -1 \\ 1 \\ 2 \end{bmatrix} = \begin{bmatrix} 1111 \\ 0001 \\ 0010 \end{bmatrix}$$

и соответствующие координатам слова

$$p_1 = \begin{bmatrix} 1100 \\ 1111 \end{bmatrix}, \quad p_2 = \begin{bmatrix} 0101 \\ 0001 \end{bmatrix}, \quad p_3 = \begin{bmatrix} 0000 \\ 0010 \end{bmatrix},$$

а результат представляется состоянием  $(1, 1, 2)$ . Это значит, что векторы  $v_1$  и  $a$  не сравнимы.

Для  $v_2$  и  $a$  имеем

$$v_2 = \begin{bmatrix} 0011 \\ 0100 \\ 1110 \end{bmatrix} \Rightarrow p_1 = \begin{bmatrix} 1100 \\ 1111 \end{bmatrix}, \quad p_2 = \begin{bmatrix} 0100 \\ 0001 \end{bmatrix}, \quad p_3 = \begin{bmatrix} 1110 \\ 0010 \end{bmatrix}$$

и результат — состояние  $(1, 1, 2)$ ; следовательно,  $v_2$  и  $a$  также не сравнимы.

Для  $v_3$  и  $a$  имеем

$$v_3 = \begin{bmatrix} 0000 \\ 1111 \\ 0001 \end{bmatrix} \Rightarrow p_1 = \begin{bmatrix} 0000 \\ 1111 \end{bmatrix}, \quad p_2 = \begin{bmatrix} 1111 \\ 0001 \end{bmatrix}, \quad p_3 = \begin{bmatrix} 0001 \\ 0010 \end{bmatrix}$$

и результат — состояние  $(1, 2, 1)$ ; это значит, что  $v_3$  и  $a$  не сравнимы.

Для  $v_4$  и  $a$  имеем

$$v_4 = \begin{bmatrix} 0001 \\ 0001 \\ 0010 \end{bmatrix} \Rightarrow p_1 = \begin{bmatrix} 0001 \\ 1111 \end{bmatrix}, \quad p_2 = \begin{bmatrix} 0001 \\ 0001 \end{bmatrix}, \quad p_3 = \begin{bmatrix} 0010 \\ 0010 \end{bmatrix}$$

и результат — это  $(1, 0, 0)$ , что означает  $a < v_4$ .

Конец примера 3.

**Предложение 3.** Автомат  $B_1$  правильно вычисляет отношение  $x \leq y$  между двумя целыми числами  $x$  и  $y$ , представленными в двоичной системе счисления в виде 2-дополнения.

Доказательство очевидным образом следует из предложения 1. Действительно, автомат  $B_1$  при переходе из начального состояния  $a_0$  распознает знак и переходит в состояние 0, если числа положительные, и далее работает как автомат  $A_1$ . Если числа отрицательные, то автомат  $B_1$  переходит в состояние 3 и далее работает как автомат  $A_1$ , только переходы из состояния 3 в состояния 1 или 2 асимметричны переходам автомата  $A_1$  из состояния 0 в состояния 1 или 2. Если знаки разные, то автомат  $B_1$  переходит сразу либо в состояние 1 (случай  $x > y$ ), либо в состояние 2 (случай  $x < y$ ). Автомат  $B_1$  в процессе сравнения, попадая в состояние 1 (или 2), из него уже не выходят. Это значит, что сравнение выполняется однозначно.

Конец доказательства.

Сравнение векторов размерности  $n$  выполняется однородной сетью из автоматов  $B_1$ .

**Теорема 1.** Сети  $A$  и  $B$  правильно выполняют разбиение множества векторов относительно покоординатного и лексикографического порядков и порогового вектора.

Доказательство следует из предложений 1–3.

Корректность функционирования однородной сети  $B$  для лексикографического порядка иллюстрируется также результатами тестирования, приведенными в табл. 1.

**Таблица 1.** Результаты сравнения векторов  $A$  и  $B$ , представленных в прямом и дополнительном кодах

Прямой двоичный код			Дополнительный двоичный код		
Двоичный вектор $A_j$	Двоичный вектор $B_i$	Результат сравнения	Двоичный вектор $A_j$	Двоичный вектор $B_i$	Результат сравнения
$A_1 = 000 (+0)$	$B_1 = 000 (+0)$	$A = B$ (Equal)	$A_1 = 000 (+0)$	$B_1 = 000 (+0)$	$A = B$ (Equal)
	$B_2 = 010 (+2)$	$B > A$ (More)		$B_2 = 010 (+2)$	$B > A$ (More)
	$B_3 = 111 (-3)$	$B < A$ (Less)		$B_3 = 101 (-3)$	$B < A$ (Less)
	$B_4 = 110 (-2)$	$B < A$ (Less)		$B_4 = 110 (-2)$	$B < A$ (Less)
	$B_5 = 101 (-1)$	$B < A$ (Less)		$B_5 = 111 (-1)$	$B < A$ (Less)
$A_2 = 001 (+1)$	$B_1 = 000 (+0)$	$B < A$ (Less)	$A_2 = 001 (+1)$	$B_1 = 000 (+0)$	$B < A$ (Less)
	$B_2 = 010 (+2)$	$B > A$ (More)		$B_2 = 010 (+2)$	$B > A$ (More)
	$B_3 = 111 (-3)$	$B < A$ (Less)		$B_3 = 101 (-3)$	$B < A$ (Less)
	$B_4 = 110 (-2)$	$B < A$ (Less)		$B_4 = 110 (-2)$	$B < A$ (Less)
	$B_5 = 101 (-1)$	$B < A$ (Less)		$B_5 = 111 (-1)$	$B < A$ (Less)
$A_3 = 011 (+3)$	$B_1 = 000 (+0)$	$B < A$ (Less)	$A_3 = 011 (+3)$	$B_1 = 000 (+0)$	$B < A$ (Less)
	$B_2 = 010 (+2)$	$B < A$ (Less)		$B_2 = 010 (+2)$	$B < A$ (Less)
	$B_3 = 111 (-3)$	$B < A$ (Less)		$B_3 = 101 (-3)$	$B < A$ (Less)
	$B_4 = 110 (-2)$	$B < A$ (Less)		$B_4 = 110 (-2)$	$B < A$ (Less)
	$B_5 = 101 (-1)$	$B < A$ (Less)		$B_5 = 111 (-1)$	$B < A$ (Less)
$A_4 = 110 (-2)$	$B_1 = 000 (+0)$	$B > A$ (More)	$A_4 = 110 (-2)$	$B_1 = 000 (+0)$	$B > A$ (More)
	$B_2 = 010 (+2)$	$B > A$ (More)		$B_2 = 010 (+2)$	$B > A$ (More)
	$B_3 = 111 (-3)$	$B < A$ (Less)		$B_3 = 101 (-3)$	$B < A$ (Less)
	$B_4 = 110 (-2)$	$A = B$ (Equal)		$B_4 = 110 (-2)$	$A = B$ (Equal)
	$B_5 = 101 (-1)$	$B > A$ (More)		$B_5 = 111 (-1)$	$B > A$ (More)

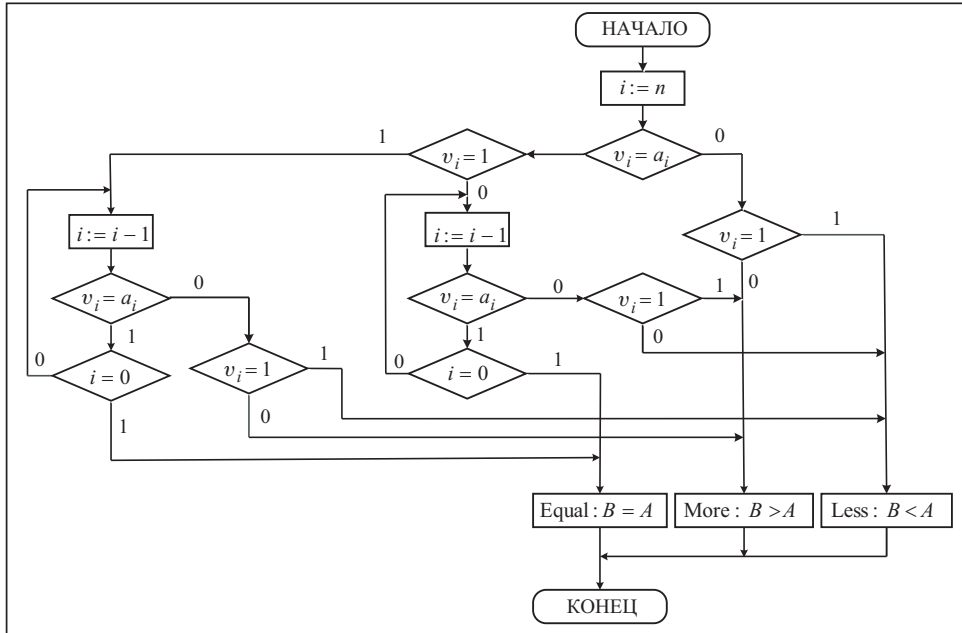


Рис. 4. Блок-схема алгоритма сравнения двоичных чисел со знаком

#### РЕАЛИЗАЦИЯ СРАВНЕНИЯ ДВУХ ВЕКТОРОВ НА ОСНОВЕ ЛОГИЧЕСКИХ СТРУКТУР

Поскольку решение задачи классификации выполняется однородной сетью автоматов, достаточно реализовать на основе логической структуры только операции сравнения двух векторов, т.е. только автоматов  $A_1$  и  $B_1$ . Для произвольного вектора  $v \in V$  размерности  $n \in N$  и фиксированного порогового вектора  $a$ , где  $v, a \in Z^n$ , а  $Z$  — множество целых чисел, необходимо сформировать результаты сравнения:  $v < a$  (Less);  $v > a$  (More) и  $v = a$  (Equal).

Пусть  $A$  и  $B$  ( $A = a, B = v$ ) — двоичные векторы размерности  $n$ , представленные следующим образом:  $A = a_n a_{n-1} a_{n-2} \dots a_0$ ,  $B = b_n b_{n-1} b_{n-2} \dots b_0$ , где  $a_n, b_n$  — знаковые разряды  $A$  и  $B$ . Блок-схема алгоритма сравнения двоичных векторов (в прямых кодах) представлена на рис. 4. Отсюда можно видеть результат сравнения двух векторов.

**Пример 4.** Пусть  $A$  и  $B$  — множества векторов, имеющих двоичное представление своих координат, т.е.  $a = a_n a_{n-1} a_{n-2} \dots a_0 \in A$ ,  $b = b_n b_{n-1} b_{n-2} \dots b_0 \in B$ , где  $a_n, b_n$  — знаковые разряды  $a$  и  $b$ . Для случая  $n=3$  пусть

$$A = \{A_1 = 000; A_2 = 001; A_3 = 011; A_4 = 110\},$$

$$B = \{B_1 = 000; B_2 = 010; B_3 = 111; B_4 = 110; B_5 = 101\}.$$

Найти разбиение векторов из множества  $B$  относительно лексикографического порядка и соответствующих пороговых векторов из множества  $A$  для отношения  $R \in \{<, >, =\}$ .

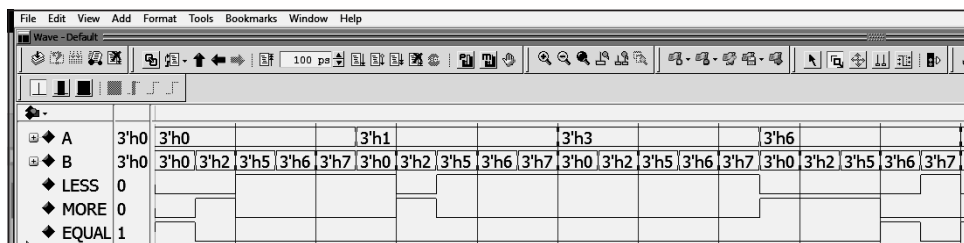


Рис. 5. Временная диаграмма алгоритма сравнения двоичных чисел со знаком в прямом коде

Рассмотрим теперь реализацию алгоритма сравнения (числа представлены в прямых кодах) на основе кристаллов FPGA с использованием САПР с последующим моделированием в среде ModelSim. Результаты моделирования (временная диаграмма, представленная на рис. 5) подтверждают правильность функционирования структуры сравнения чисел со знаком и имеют следующие обозначения:

$$A_1 = 000 = 3'h0, A_2 = 001 = 3'h1, A_3 = 011 = 3'h3, A_4 = 110 = 3'h6;$$

$$B_1 = 000 = 3'h0, B_2 = 010 = 3'h2, B_3 = 111 = 3'h7, B_4 = 110 = 3'h6,$$

$$B_5 = 101 = 3'h5.$$

Рассмотренный пример реализации алгоритма сравнения двухразрядных чисел со знаком по результатам моделирования выполняется в кристалле FPGA за единицы наносекунд. При расширении разрядности чисел время выполнения операции практически не изменяется, поскольку реализация предполагает параллельное полуразрядное сравнение.

Конец примера 4.

#### РЕАЛИЗАЦИЯ ОПЕРАЦИЙ В ТРЕХЗНАЧНОЙ ЛОГИКЕ

Рассмотрим метод проверки выполнимости формул трехзначной логики Лукасевича [16], который применим также для трехзначной логики Клини и для трехзначной логики Бочвара, а также для любой  $k$ -значной логики. Возможность при-

**Таблица 2.** Значения истинности логических функций для троичной логики

$A = x$	$B = y$	$\min(x, y)$ соответствует $A \wedge B$	$\max(x, y)$ соответствует $A \vee B$	$\min(1, 1 - x + y)$ соответствует $A \rightarrow B$	$(1 - x)$ соответствует $\bar{A}$
1	1	1	1	1	0
1	1/2	1/2	1	1/2	0
1	0	0	1	0	0
1/2	1	1/2	1	1	1/2
1/2	1/2	1/2	1/2	1	1/2
1/2	0	0	1/2	1/2	1/2
0	1	0	1	1	1
0	1/2	0	1/2	1	1
0	0	0	0	1	1

**Таблица 3.** Моделирование значений истинности логических функций для троичной логики

$A = x$	$B = y$	$\min(x, y)$ соответствует $A \wedge B$	$\max(x, y)$ соответствует $A \vee B$	$\min(1, 1 - x + y)$ соответствует $A \rightarrow B$	$(1 - x)$ соответствует $\bar{A}$
10	10	10	10	10	00
10	01	01	10	01	00
10	00	00	10	00	00
01	10	01	10	10	01
01	01	01	01	10	01
01	00	00	01	01	01
00	10	00	10	10	10
00	01	00	01	10	10
00	00	00	00	10	10

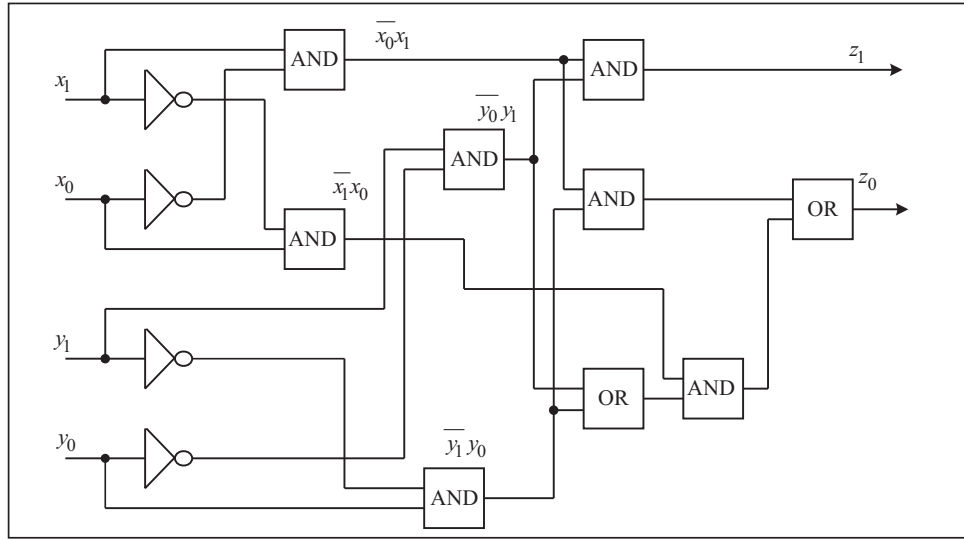


Рис. 6. Схема реализации операции  $A \wedge B$

менения описанного метода строится на моделировании операций трехзначной логики с помощью двузначной логики. Представим таблицу операций трехзначной логики Лукасевича, в которой используются значения 1, 1/2, 0 (табл. 2), и таблицу моделирования этих операций двузначной логикой (табл. 3).

Для соответствия с двузначной логикой применяется такое кодирование значений трехзначной логики: 1 → 10, 1/2 → 01 и 0 → 00.

Поскольку для кодирования значений трехзначной логики используются два бита, то выходные значения также будут двухбитовыми. Пусть  $x = x_1x_0$ ,  $y = y_1y_0$ ,  $z = z_1z_0$  — битовое представление входных и выходных значений переменных. Построим алгебраические выражения для представленных логических операций с учетом принятой кодировки:

1) операция  $A \wedge B$ :

$$z_0 = \overline{x_1}x_0(y_1\overline{y_0} + \overline{y_1}y_0) + \overline{x_0}x_1\overline{y_1}y_0, \quad z_1 = \overline{x_0}x_1y_1\overline{y_0},$$

схема реализации этой операции представлена на рис. 6;

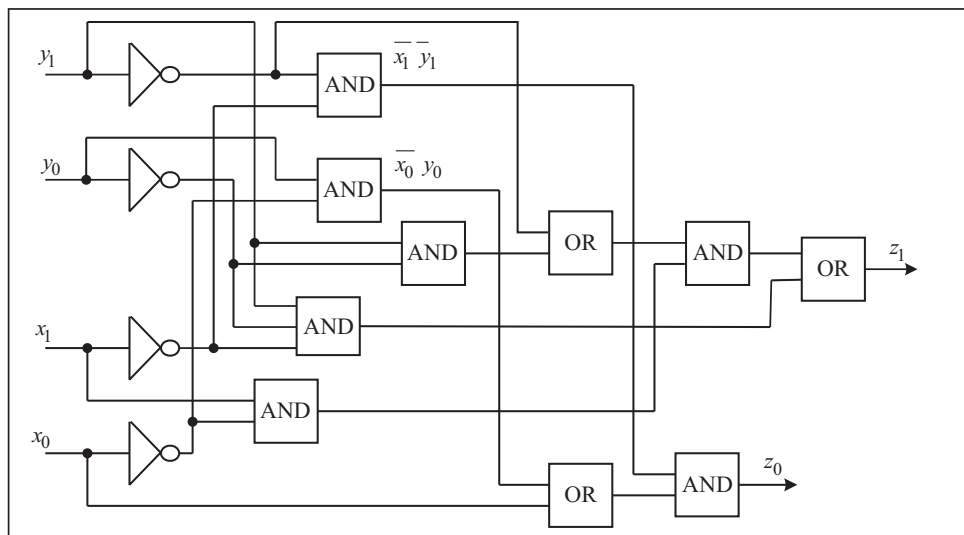


Рис. 7. Схема реализации операции  $A \vee B$

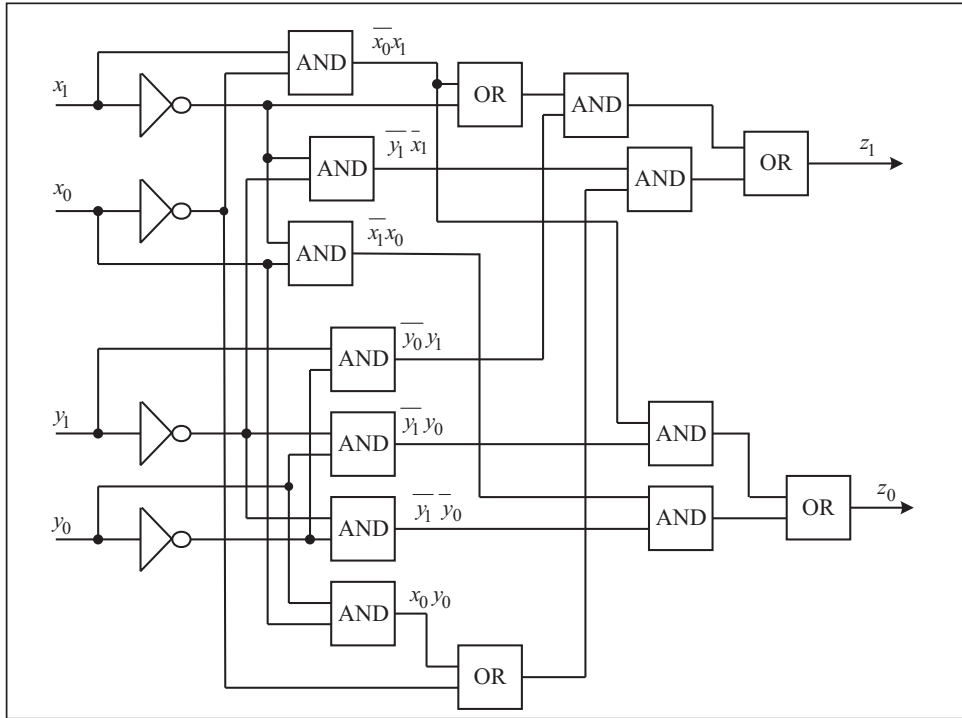


Рис. 8. Схема реализации операции  $A \rightarrow B$

2) операция  $A \vee B$ :

$$z_0 = \overline{x_1} \overline{y_1} (x_0 + \overline{x_0} y_0), \quad z_1 = \overline{x_1} y_1 \overline{y_0} + \overline{x_0} x_1 (y_1 \overline{y_0} + \overline{y_1}),$$

схема реализации этой операции представлена на рис. 7;

3) операция  $A \rightarrow B$ :

$$z_0 = \overline{y_1} (x_1 \overline{x_0} y_0 + \overline{x_1} x_0 \overline{y_0}), \quad z_1 = y_1 \overline{y_0} (\overline{x_1} + \overline{x_0} x_1) + \overline{x_1} \overline{y_1} (\overline{x_0} + x_0 y_0)$$

схема реализации этой операции представлена на рис. 8;

4) операция  $\bar{A}$ :

$$z_0 = \overline{x_1} x_0, \quad z_1 = \overline{x_0} \overline{x_1};$$

схема реализации этой операции представлена на рис. 9.

Рассмотрим теперь реализацию операций трехзначной логики (соответствует табл. 3) на основе кристаллов FPGA с использованием САПР с последующим моделированием в среде ModelSim. Результаты моделирования (временная диаграмма, представленная на рис. 10) подтверждают правильность функционирования структур трехзначной логики. Использованы следующие обозначения: Zand, Zor, AsB, invA соответствуют логическим операциям  $A \wedge B$ ,  $A \vee B$ ,  $A \rightarrow B$ ,  $\bar{A}$ , а состояния  $2'h0, 2'h1, 2'h2$  соответствуют значениям трехзначной логики в кодировке  $0 \rightarrow 00, 1/2 \rightarrow 01, 1 \rightarrow 10; 2'h3$  — запрещенное состояние.

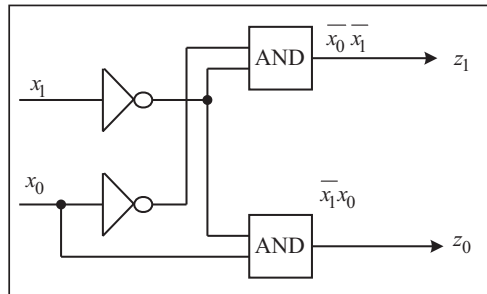


Рис. 9. Схема реализации операции  $\bar{A}$

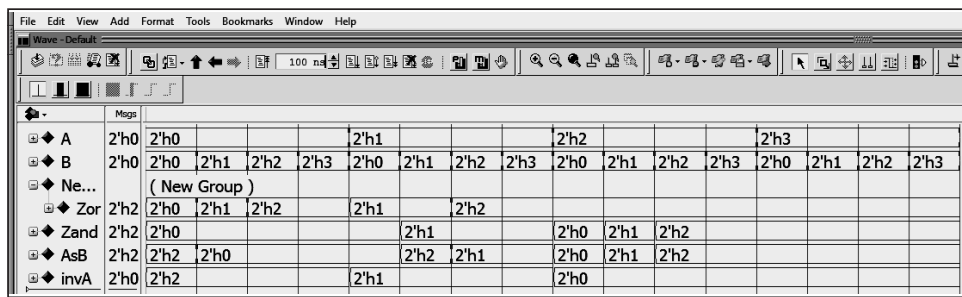


Рис. 10. Временная диаграмма функционирования операций трехзначной логики

**Теорема 2.** Приведенная реализация логических операций для трехзначной логики корректна, т.е. правильно вычисляются значения этих операций.

**Доказательство** сводится к рассмотрению правильности реализации каждой операции. Приведем доказательство только для случая операции конъюнкции и дизъюнкции, поскольку для остальных операций оно выполняется аналогично.

Операции  $A \wedge B$  согласно таблице кодирования соответствует ДНФ вида  $z_0 = x_0 x_1 y_1 y_0 + x_1 x_0 y_1 y_0 + x_1 x_0 \bar{y}_1 y_0$ , которая преобразовывается к такому окончательному выражению:  $z_0 = x_1 x_0 (y_1 y_0 + y_1 y_0) + x_0 x_1 y_1 y_0$ , а для  $z_1 = x_0 x_1 y_1 y_0$  никаких преобразований не требуется. Именно эти выражения реализуются схемой для  $A \wedge B$ .

Операции  $A \vee B$  согласно таблице кодирования соответствует ДНФ вида  $z_0 = x_1 x_0 y_0 y_1 + x_1 x_0 y_0 y_1 + y_1 y_0 x_0 x_1$ , которая преобразовывается к такому окончательному выражению:  $z_0 = \bar{x}_1 \bar{y}_1 (x_0 + x_0 y_0)$ , а для  $z_1$  ДНФ имеем вид  $z_1 = \bar{x}_0 \bar{x}_1 y_1 y_0 + \bar{x}_0 x_1 y_1 y_0 + x_0 x_1 y_0 y_1 + y_1 y_0 x_1 x_0 + y_1 y_0 \bar{x}_1 x_0$ , которая преобразовывается к такому окончательному выражению:  $z_1 = \bar{x}_1 y_1 y_0 + x_0 x_1 (y_1 y_0 + y_1)$ . Именно эти выражения реализуются схемой для  $A \vee B$ .

Конец доказательства.

**Пример 5.** Вычислим значение формулы трехзначной логики Лукасевича вида

$$F = ((A \rightarrow B) \vee (C \wedge D)) \wedge \neg B.$$

Для вычисления значения этой формулы синтезируется сеть по структуре формулы  $F$ . Синтезированная сеть принимает вид

$$S_1(S_2(S_3(A, B), S_1(C, D)), S_4(B)),$$

где  $S_1, S_2, S_3, S_4$  — схемы реализации функций конъюнкции, дизъюнкции, импликации и отрицания соответственно. Так, пусть заданы входные значения переменных:  $A=1, B=0, C=1/2, D=0$ , тогда на выходе получаем такое значение формулы  $F$ :

$$S_3(10, 00) = 00, \quad S_1(01, 00) = 00, \quad S_4(00) = 10,$$

$$S_1(S_2(S_3(10, 00), S_1(01, 00)), S_4(00)) = S_1(S_2(00, 00), S_4(00)) = S_1(00, 10) = 00.$$

Таким образом, значение формулы равно нулю, что соответствует значению, вычисленному по табл. 2. Для значений  $A=1, B=1, C=1/2, D=1/2$  получаем следующее значение формулы  $F$ :

$$S_3(10, 10) = 10, \quad S_1(01, 01) = 01, \quad S_4(10) = 00,$$

$$S_1(S_2(S_3(10, 10), S_1(01, 01)), S_4(10)) = S_1(S_2(10, 01), S_4(10)) = S_1(10, 00) = 00.$$

Конец примера 5.

Из примера 5 следует, что данный подход позволяет по структуре заданной формулы трехзначной логики синтезировать сеть, с помощью которой можно проверять выполнимость данной формулы для значений входных переменных.

## ЗАКЛЮЧЕНИЕ

В настоящей статье рассмотрено решение задачи разбиения множества векторов с целыми координатами относительно покоординатного и лексикографического порядков на векторах. При этом использовалась автоматная интерпретация задачи разбиения, которая решает задачу в общем виде. Приведенное решение не зависит от разрядности координат векторов и применимо к произвольным величинам координат векторов и пороговым значениям. Таким образом, обобщаются способы решения задач разбиения, которые рассматривались в работе [1]. Корректность предложенного решения доказана и подтверждена аппаратной реализацией на кристаллах FPGA и соответствующим моделированием с получением временных диаграмм. Эти методы применяются для проверки выполнимости формул трехзначной логики. Соответствующая логическая сеть синтезируется по структуре формулы.

## СПИСОК ЛИТЕРАТУРЫ

1. Kryvyi S.L., Opanasenko V.N. Partitioning a set of vectors with nonnegative integer coordinates using logical hardware. *Cybernetics and Systems Analysis*. 2018, Vol. 54, N 2. P. 310–319.
2. Krivoi S. A criteria of compatibility systems of linear diophantine constraints. *Lecture Notes in Computer Science*. 2002. Vol. 2328. P. 264–271.
3. Kryvyi S.L. Algorithms for solving systems of linear Diophantine equations in residue fields. *Cybernetics and Systems Analysis*. 2007. Vol. 43, N 2. P. 3–17.
4. Palagin A.V., Opanasenko V.N. Reconfigurable computing technology. *Cybernetics and Systems Analysis*. 2007. Vol. 43, N 5. P. 675–686.
5. Palagin A.V., Opanasenko V.N. Design and application of the PLD-based reconfigurable devices. In: *Design of Digital Systems and Devices. Lecture Notes in Electrical Engineering*. Adamski M., Barkalov A., Wegrzyn M. (Eds.). Berlin; Heidelberg: Springer-Verlag, 2011. Vol. 79. P. 59–91.
6. Opanasenko V., Kryvyi S. Synthesis of multilevel structures with multiple outputs. *CEUR Workshop Proceeding of 10th International Conference of Programming, UkrPROG 2016*, Kyiv, Ukraine. 2016. Vol. 1631, Code 122904. P. 32–37.
7. Kondratenko Y.P., Gordienko E. Implementation of the neural networks for adaptive control system on FPGA. In: *Annals of DAAAM for 2012 & Proceeding of 23rd DAAAM International Symposium on Intelligent Manufacturing and Automation*. Katalinic B. (Ed.). Vienna, Austria, 2012. Vol. 23, N 1. P. 0389–0392.
8. Kondratenko Y., Kondratenko V. Soft computing algorithm for arithmetic multiplication of fuzzy sets based on universal analytic models. In: *Information and Communication Technologies in Education, Research, and Industrial Application. Ser. Communications in Computer and Information Science*. 2014. Vol. 469. P. 49–77.
9. Palagin A.V., Opanasenko V.N., Kryvyi S.L. Resource and energy optimization oriented development of FPGA-based adaptive logical networks for classification problem. In: *Green IT Engineering: Components, Networks and Systems Implementation*. Kharchenko V., Kondratenko Y., Kacprzyk J. (Eds.). 2017. Vol. 105. P. 195–218. DOI: DOI 10.1007 978-3-319-55595-9\_10.
10. Opanasenko V.N., Kryvyi S.L. Synthesis of neural-like networks on the basis of conversion of cyclic hamming codes. *Cybernetics and Systems Analysis*. 2017. Vol. 53, N 4. P. 627–635.

11. Palagin A., Opanasenko V. The implementation of extended arithmetic's on FPGA-based structures. *Proceedings of the 9th IEEE International Conference on Intelligent Data Acquisition and Advanced Computing Systems: Technology and Applications, IDAACS'2017.* (21–23 September 2017, Bucharest, Romania). 2017. Vol. 2. P. 1014–1019.
12. Drozd J., Drozd A., Antoshchuk S., Kushnerov A., Nikul V. Effectiveness of matrix and pipeline FPGA-based arithmetic components of safety-related systems. *Proceedings of the 8th IEEE International Conference on Intelligent Data Acquisition and Advanced Computing Systems: Technology and Applications.* Warsaw, Poland, 2015. P. 785–789.
13. Woods R., McAllister J., Lightbody G., Ying Yi. FPGA-based implementation of signal processing systems. Chichester: John Wiley and Sons, 2008. 362 p.
14. Глушкин В.М., Летичевский А.А., Годлевский А.Б. Методы синтеза дискретных моделей биологических систем. Киев: Вища шк., 1983. 262 с.
15. Anderson J. Automata theory with modern applications. Cambridge: Cambridge University Press, 2006. 255 p.
16. Лукасевич Я. Аристотелевская силлогистика с точки зрения современной формальной логики. Москва: Иностранная литература, 1959. 312 с.

*Надійшла до редакції 12.09.2018*

**С.Л. Кривий, В.М. Опанасенко, С.Б. Зав'ялов**  
**РОЗБИТТЯ МНОЖИНІ ВЕКТОРІВ З ЦІЛИМИ КООРДИНАТАМИ ЛОГІКОВИМИ  
 АПАРАТНИМИ ЗАСОБАМИ**

**Анотація.** Розглянуто задачу розбиття множини векторів з цілими координатами відносно покоординатного і лексикографічного порядку на векторах із використанням автоматної інтерпретації. Запропоновано апаратну реалізацію операцій тризначної логіки на базі кристалів FPGA для перевірки виконуваності формул цієї логіки.

**Ключові слова:** цілочислові вектори, порогові значення, скінченні автомати, тризначна логіка.

**S.L. Kryvyi, V.M. Opanasenko, S.B. Zavyalov**  
**PARTITIONING OF A SET OF VECTORS WITH INTEGER COORDINATES  
 BY MEANS OF THE LOGICAL HARDWARE**

**Abstract.** The problem of partitioning a set of vectors with integer coordinates with respect to the coordinate-wise and lexicographic order on vectors by using an automatic interpretation is considered. The FPGA-based hardware implementation of three-valued logic operations for feasibility verification of the formulas of this logic is proposed.

**Keywords:** vectors with integer items, threshold value, finite automata, three-valued logic.

**Кривий Сергій Лук'янович,**  
 доктор фіз.-мат. наук, професор, професор Київського національного університета імені Тараса Шевченка, Київ, e-mail: sl.krivoi@gmail.com.

**Опанасенко Владимир Николаевич,**  
 доктор техн. наук, професор, ведущий научный сотрудник Института кибернетики им. В.М. Глушкова НАН України, Київ, e-mail: OpanasenkoVM@nas.gov.ua.

**Зав'ялов Станислав Борисович,**  
 кандидат техн. наук, директор ООО «Радіонікс», Київ, e-mail: radionix13@gmail.com.